

Relatório 3 - ELE-32

Códigos Convolucionais

Eduardo Alarcon Mady Barbosa
Departamento de
Engenharia da Computação
Instituto Tecnológico de Aeronáutica
São José dos Campos, São Paulo
Email: eduambarbosa@gmail.com

Vitor Pimenta dos Reis Arruda
Departamento de
Engenharia da Computação
Instituto Tecnológico de Aeronáutica
São José dos Campos, São Paulo
Email: vitor_pimenta97@hotmail.com

Resumo—Este relatório analisa o desempenho de códigos convolucionais por meio da implementação de um codificador de canal convolucional e seu respectivo decodificador. Foram realizados três métodos de decodificação tendo como base o algoritmo de Viterbi e variando o critério de decisão.

Para tanto, implementaram-se também um canal BSC e um canal AWGN. A taxa de erro de bit de informação foi avaliada estatisticamente para cada um dos conjuntos e para três polinômios geradores distintos, submetendo-os à passagem de um milhão de bits de informação para estimar seus desempenhos.

I. INTRODUÇÃO

A. Códigos Convolucionais

Um código convolucional é um tipo de código corretor de erro que processa uma sequência de bits. Ele é composto por um codificador convolucional e um decodificador.

B. Codificador Convolucional

Um codificador convolucional pode ser visto como uma máquina que a cada instante processa k bits de entrada e gera $n > k$ bits de saída e que possui memória, de forma que os bits a serem gerados no próximo instante dependem do estado (memória) atual do codificador. Uma forma de descrever o código do codificador convolucional é através da descrição polinomial, a qual é descrita com mais detalhes em [2] e [3]. A matriz geradora $G(D)$ é a matriz formada pelos polinômios geradores, em que cada um deles é responsável pela geração de um bit codificado. A relação entre entrada e saída é dada pelo produto do polinômio de entrada $u(D)$ pela matriz geradora:

$$V(D) = u(D)G(D) \quad (1)$$

A saída unidimensional é formada pela interpolação dos termos das saídas de $V(D)$:

$$v(D) = \sum_n \sum_{i=1} v_i(D^n) D^{i-1} \quad (2)$$

Outra descrição possível é através do diagrama de estados com um codificador recursivo, que não será abordada no relatório.

C. Decodificação

Para a decodificação, utiliza-se o algoritmo de Viterbi. O algoritmo de Viterbi usa a treliça do código para realizar a decodificação de um código convolucional. O algoritmo armazena métricas de percurso (custo) para tomar a decisão sobre qual sequência foi transmitida. A métrica do percurso é obtida através da soma das métricas dos ramos que, concatenados, formam o percurso.

Para os métodos implementados utilizou-se três métricas:

- Realizando a transmissão através de um canal BSC, utilizou-se a distância de Hamming entre o que foi recebido e os rótulos binários de saída dos ramos. A distância de Hamming entre os dois vetores binários com o mesmo comprimento é o número de posições em que estes dois vetores diferem de valor.

- Realizando a transmissão através de um canal BSC, utilizou-se a probabilidade de cada ramo ter sido transmitido dado o valor recebido naquele instante.

- Realizando a transmissão através de um canal AWGN, utilizou-se a distância Euclidiana quadrática entre o símbolo recebido e os símbolos associados aos ramos de saída.

A cada instante, o número de percursos possíveis cresce exponencialmente. Se, por exemplo, o codificador tiver k entradas, n saídas e m memórias, há 2^{kt} sequências possíveis do instante 0 até o instante t . Por outro lado, somente um pequeno conjunto de sequências são as mais prováveis. O algoritmo de Viterbi aproveita-se deste fato para reduzir a complexidade de decodificação. Em um dado instante, há vários percursos que levam ao mesmo estado σ_i^t . Dentre os vários possíveis, um deles será mais provável do que os outros. Logo, se o percurso mais provável passa pelo estado σ_i no instante t , o caminho que levou até este estado deve ser o mais provável. Assim, em cada instante, é necessário armazenar, pra cada estado, somente o caminho mais provável de chegar até ele. Isto é, precisamos armazenar $2m$ caminhos, o que é uma redução de complexidade se comparado com o número de sequências possíveis (2^{kt}).

II. IMPLEMENTAÇÃO

Todas as implementações foram feitas utilizando a linguagem de programação Julia, projetada para atender os requisitos

da computação de alto desempenho numérico e científico.

A. Codificador Convolutacional

A implementação do codificador convolutacional foi feita com base na interpretação da máquina de estados descrita anteriormente. A partir do polinômio gerador o código recebe quais memórias, e também o bit de entrada, fazem parte do bit de saída. O funcionamento da máquina de estados se dá a partir de *shifts* nas memórias, em que as memórias representam o estado atual, retornando os bits de saída e recebendo um novo bit de entrada.

B. Canais BSC e AWGN

A implementação dos canais consiste em simular a transmissão dos bits já codificados, ou seja, inserir ruídos. Para o canal BSC, o código recebe os bits já codificados e para cada bit gera um número aleatório entre 0 e 1. Para uma probabilidade de erro de bit p , muda o bit quando o número gerado for menor que p .

Para o canal AWGN, primeiro os bits codificados são remapeados para uma modulação BPSK (os bits 0 são substituídos por bits -1). Em seguida, é somado em cada bit um ruído obtido ao gerar um número aleatório tendo como distribuição uma distribuição normal com média 0 e variância $\sqrt{N_0/2}$.

C. Decodificador

A implementação do decodificador foi feita utilizando uma árvore como estrutura de dados para a realização do algoritmo de Viterbi:

1. Inicie todos os estados com custo igual a zero. Caso o estado inicial seja obrigatoriamente um estado em particular (por exemplo estado nulo), somente este terá custo zero; os outros terão custo inicial infinito.
2. Dado o símbolo recebido, calcule o custo de cada uma das transições possíveis no instante atual.
3. Para cada estado futuro, calcule o custo de todos os percursos que chegam ao estado somando o custo do estado anterior com o custo do ramo que causa a transição entre estados. O caminho sobrevivente para um estado futuro é aquele com menor custo. Este custo torna-se também o custo do estado.
4. Enquanto houver símbolos a serem processados, retorne ao passo 2.
5. Escolha o estado final que tem o menor custo e o caminho que leva a ele, obedecendo a restrições sobre o estado final, se houver.

III. RESULTADOS OBTIDOS

Cada um dos métodos de implementação foram testados com três quantidades de memória distintas, cada qual com três polinômios geradores. A quantidade de memória de cada máquina de estados e os respectivos polinômios geradores estão representados na Tabela I.

Tabela I: Representação octal dos polinômios geradores a serem utilizados para gerar os códigos com taxa 1/3

m	$g_1(D)$	$g_2(D)$	$g_3(D)$
3	13	15	17
4	25	33	37
6	117	127	155

A. Máquina de estados com 3 memórias

O resultado obtido para a máquina de estados com 3 memórias está representado na Figura 1.

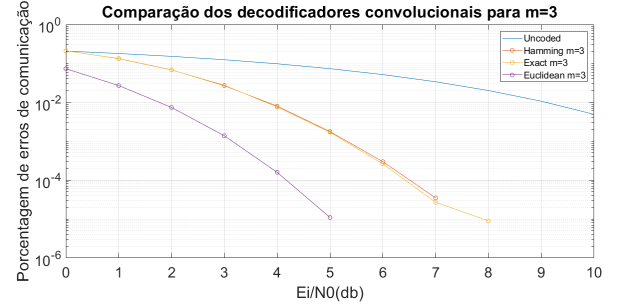


Figura 1: Gráfico da porcentagem de erro pela razão sinal ruído normalizada para $m=3$

B. Máquina de estados com 4 memórias

O resultado obtido para a máquina de estados com 4 memórias está representado na Figura 2.

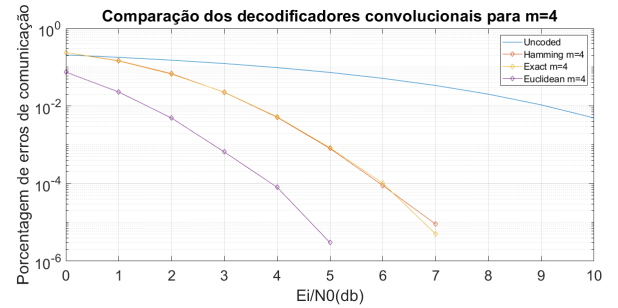


Figura 2: Gráfico da porcentagem de erro pela razão sinal ruído normalizada para $m=4$

C. Máquina de estados com 6 memórias

O resultado obtido para a máquina de estados com 6 memórias está representado na Figura 3.

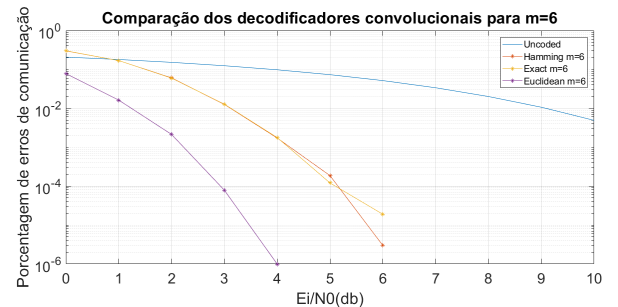


Figura 3: Gráfico da porcentagem de erro pela razão sinal ruído normalizada para $m=6$

IV. ANÁLISE

A. Decodificadores convolucionais

Analisando a Figura 1, a Figura 2 e a Figura 3, pode-se concluir que o decodificador é melhor utilizando o método da distância euclidiana como custo do algoritmo de Viterbi. Já em relação ao custo pela distância de Hamming e pela probabilidade percebe-se um comportamento já esperado: como a distância de Hamming é uma aproximação do método da probabilidade, que é exato, o último é levemente superior ao primeiro, mas ambos são piores que o método da distância euclidiana.

Para fazer uma comparação do desempenho dos decodificadores entre as diferentes quantidades de memórias das máquinas de estados, plota-se um gráfico composto pela Figura 1, Figura 2 e Figura 3, representado na Figura 4.

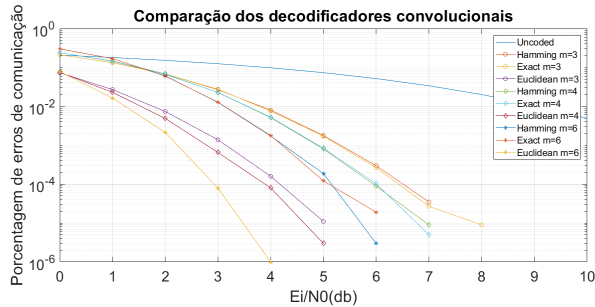


Figura 4: Gráfico da porcentagem de erro pela razão sinal ruído normalizada para todos os valores de m

Analisando a Figura 4, percebe-se que quanto maior a quantidade de memórias da máquina de estados, melhor é o desempenho do decodificador. A melhora acontece para as três métricas de cálculo de custo.

B. Comparação com vários decodificadores

Utilizando os códigos desenvolvidos em relatórios anteriores, comparou-se na Figura 5 o desempenho dos códigos de convolução com os de bloco e cíclicos. Para os códigos de bloco, foram testados o código de Hamming e o código desenvolvido pelo grupo. Já para os códigos cíclicos, foram testados um código BCH e apenas os que possuíam distância mínima de Hamming suficiente para corrigir um bit: (7, 12) e (8, 14), em que o par ordenado é composto pelos bits de informação e pelo tamanho de palavra código.

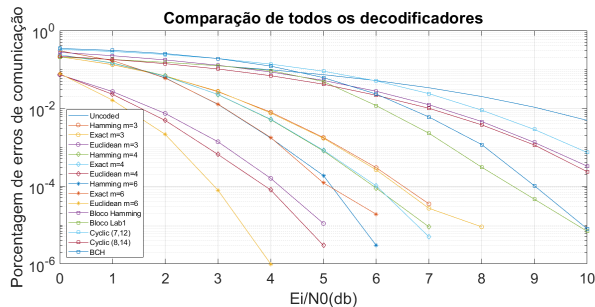


Figura 5: Gráfico da porcentagem de erro pela razão sinal ruído normalizada para todos os decodificadores

Analisando a Figura 5, percebe-se que os códigos que obtêm melhor desempenho são os códigos convolucionais. Em seguida, observa-se que os códigos cíclicos possuem um desempenho, em média, melhor que os códigos de bloco, mas todos piores que os códigos convolucionais implementados.

V. RESPOSTAS A PERGUNTAS (RASCUNHO)

A. Do primeiro roteiro (lab3)

1) *Quais foram as maiores dificuldades em implementar o codificador convolucional?*: Não houve dificuldade. Modelando o codificador como uma máquina de estado, a implementação foi direta.

2) *Quanto tempo a sua solução demora para codificar cada bit de informação? Faça uma média.*: Analisando cada um dos 3 códigos convolucionais pedidos no roteiro, observou-se que o primeiro demora 330ns para codificar cada bit de informação; o segundo, 365ns; o terceiro, 443ns.

3) *Quais foram as maiores dificuldades em implementar o decodificador convolucional?*: Dado que a decodificação tem complexidade exponencial de espaço na quantidade de "memórias" do código convolucional, o maior entrave à implementação do algoritmo foi vislumbrar uma estrutura de dados não-ingênua que permitisse codificar toda a informação necessária sem uso de memória excessiva (por exemplo, liberando espaço de memória ao descartar possíveis caminhos na treliça em meio ao algoritmo).

4) *Como a probabilidade de erro de transmissão foi estimada? Qual é o seu valor? Como ela se compara com o valor de p escolhido? Como ela muda com m?*: Gráficos necessários

5) *Qual é o tamanho final do seu executável?*: O programa foi codificado em linguagem Julia, a qual usa uma técnica de compilação "just in time" para converter o código a instruções de uma LLVM ("low level virtual machine") e o executar. Apesar de existirem desenvolvedores contribuindo para tornar possível a compilação prévia (ou seja, tornar possível a geração de um executável "standalone"), o código deste laboratório não pôde ser convertido num executável puro. Ainda assim, pode-se dizer, sobre os arquivos produzidos na linguagem Julia, que nenhum supera 2Kbytes de tamanho e, juntos, não superam 20Kbytes.

6) *Quanto tempo a sua solução demora para decodificar cada bit? Faça uma média.*: Os decodificadores de cada código convolucional trabalhado demoram, em média, 30 μ s, 60 μ s e 300 μ s para decodificar 1 bit de informação.

B. Do segundo roteiro (lab4)

Não há uma pergunta específica. A comparação entre os códigos é exibida num gráfico.

VI. CONCLUSÃO

O código cíclico apresenta a vantagem de ser necessário armazenar uma quantidade menor de síndromes e de não ser necessário associar síndrome a erro na decodificação. Isso introduz maior complexidade no passo de decodificação pois não há mapeamento direto entre síndrome e erro. No entanto, no código desenvolvido pelas equipes, foi necessário criar um

método para geração de códigos. Dessa forma a complexidade do desenvolvimento do código cíclico é maior no tocante ao entendimento dos conceitos envolvidos e no código do experimento anterior no tocante à criação de um procedimento para a geração da matriz de paridade.

Pôde-se notar do gráfico presente em Figura ?? que o código de Hamming é mais eficiente que quase todos os códigos implementados, com exceção do BCH. Isso era esperado uma vez que nenhum dos outros códigos cíclicos corrige mais bits que Hamming e Hamming possui bloco menor que os demais. Nota-se que os casos de distância mínima dois são ligeiramente piores que o canal não codificado e que o caso de distância mínima três é muito próximo de Hamming.

Pode-se depreender que os códigos cíclicos, da maneira como foram desenvolvidos, são ineficazes na diminuição da distância mínima com o aumento do tamanho do bloco. Em contraste a isso, os códigos do experimento anterior apresentados na Figura ?? são, em sua maioria, mais eficazes que Hamming.

Os tamanhos de códigos cíclicos utilizados variaram de 10 ao maior tamanho requisitado (16) e o método utilizado para gerar o conjunto de síndromes é extensível para tamanhos maiores de códigos. Vale notar que a etapa crítica de geração do conjunto de síndromes só precisa ser realizada uma única vez no préprocessamento, por isso, seu tempo de execução total não é crítico.

A medida entre tamanho do bloco e desempenho é dada pela complexidade da multiplicação e divisão polinomial, nesse caso foram consideradas ambas $\mathcal{O}(n^2)$. Além disso, foram discutidos mais detalhes sobre as complexidades das implementações na explicação do algoritmo.

Por outro lado, o código BCH possui rica estrutura matemática subjacente (corpos), possibilitando completa flexibilidade para gerar tamanhos de bloco arbitrariamente grandes e distâncias mínimas desejadas. Além de ser robusto por construção, ainda se caracteriza por complexidade linear de decodificação, como foi empiricamente validado.

REFERÊNCIAS

- [1] Berlekamp, Elwyn R. *Algebraic Coding Theory*. Edição revisada. Singapura: WSPC, 2015.
- [2] Sharma, Manish *Aula 2 - Códigos Cíclicos*. ELE32 - Introdução a Comunicações. 2018.
- [3] Sharma, Manish *Aula 3 - Código Convolutacional*. ELE32 - Introdução a Comunicações. 2018.